

## پنهان‌بندی خطر سیلاب شهری با استفاده از تحلیل شبکه‌ی (ANP) و منطق فازی مطالعه موردی: شهر مراغه

ابراهیم سامی<sup>۱\*</sup>، مریم عبادی<sup>۲</sup>

۱. استادیار گروه جغرافیا و برنامه ریزی شهری، دانشگاه مراغه، مراغه، ایران.
۲. کارشناسی ارشد شهرسازی، دانشگاه ارومیه، ارومیه، ایران.

تاریخ دریافت: ۱۴۰۰/-/- تاریخ پذیرش: ۱۴۰۰/-/-

### Urban flood hazard zoning using fuzzy-analytic network process (ANP) (Case study: Maragheh city)

Ebrahim Sami<sup>1</sup>\*, Maryam Ebadi<sup>2</sup>

1. Assistant professor in Geography and urban planning, University of Maragheh, Maragheh, Iran.
2. Master of Urbanism, Urmia University, Urmia, Iran.

Received: 2021/-/-

Accepted: 2022/-/-

#### Abstract

هدف از این تحقیق پنهان‌بندی خطر سیلاب در شهر مراغه به دلیل سیلاب ناشی از طغیان رودخانه صوفی چای می‌باشد که برای این منظور از لایه‌های اطلاعاتی شبیب، جهت شیب، ارتفاع، فاصله از آبراهه، فاصله از رودخانه، کاربری زمین، تراکم ساختمانی و تراکم جمیتی استفاده شده است. بر اساس نظر کارشناسان و شناخت منطقه، وزن دهنی لایه‌ها به روش تحلیل شبکه (ANP) با استفاده از نرم‌افزار سوپر دسیزین انجام شد. با توجه به ضرایب به دست آمده در مدل ANP عامل آبراهه با ضریب ۰/۷۵۰ بیشترین ارزش و عامل کاربری اراضی با ضریب ۰/۰۸۹۵ کمترین ارزش را برای ایجاد سیل به خود اختصاص داد و سپس تمامی لایه‌ها در محیط GIS فازی سازی شده و در نهایت با وزن دار کردن لایه‌ها و تلفیق آن‌ها به روش گاما، نقشه‌ی نهایی پنهان‌بندی سیلاب تهیه گردید. نتایج نشان می‌دهد، پنهان‌های با خطر سیل گیری خیلی زیاد در مرکز شهر حاشیه رودخانه صوفی چای با مساحت ۳/۱۲۶ هکتار به ترتیب در نواحی ۱، ۲ و ۳ و پنهان‌های با خطر سیل گیری کم در حاشیه شهر با مساحت ۱۳/۵۹۸ هکتار در نواحی ۵ و ۷ واقع گردیده‌اند. نتایج حاصل از تلفیق مدل‌های ANP و Fuzzy در تائید مطالعات پیشین، حاکی از کارایی بالای آن‌ها در تعیین مناطق با ریسک بالای سیلاب می‌باشد و ضرورت دارد در فرایند برنامه‌ریزی و آمیش به ویژه ارزیابی خطر این سطوح پنهان‌بندی شده مدنظر قرار گرفته شود.

#### وازگان کلیدی

پنهان‌بندی سیلاب، ANP، Fuzzy، شهر مراغه.

The purpose of this study is to zoning flood risk in the city of Maragheh due to floods caused by the flooding of the Sufi Chai River. have been used criteria, the distance from the river, distance from drainage lines, population density, residential density, slope, dem, aspect, land use. Based on the experts' opinion and knowledge of the area, the layers were weighted by network analysis Process (ANP) method using Super Decisions software. According to the coefficients obtained in the ANP model, the waterway factor with a coefficient of 0/7500 had the highest value and the land use factor with a coefficient of 0/0895 had the lowest value for creating floods, and then all layers were fuzzy in GIS environment and with weight Hanging the layers and combining them by gamma method, the final flood zoning plan was prepared. Based on the results, areas with very high flood risk in the city center along the Sufi Chai River with an area of 3/126 hectares. They are located in areas 1, 2 and 3 and areas with low flood risk in the outskirts of the city with an area of 13/595 hectares in areas 5 and 7, respectively. The results from integration of ANP and Fuzzy models, as approved in previous studies, indicate their high efficiency in identifying the areas with high flood risk. Therefore, it is essential to consider the zoning layers in planning processes, particularly risk assessment.

#### Keywords

Zoning flood, ANP, Fuzzy, Maragheh city.

E-mail: e.sami1361@gmail.com

\*نویسنده مسئول: ابراهیم سامی

\*Corresponding Author:

## مقدمه

رویارویی با بحران‌های محیط شهری یکی از موضوعاتی است که بیشتر شهرها با آن روبرو هستند. ویژگی‌ها و شرایط حاکم بر فضای شهری و تراکم سرمایه‌گذاری‌های محیطی، توجه به برنامه‌ریزی مناسب پیرامون مصنوبیت شهرها را ضروری ساخته است (UNDRO, 1978). در سراسر جهان شهرها در حال حاضر به دلیل تغییرات آب‌وهوا و توسعه مداوم کاربری اراضی شهری با تغییرات چشمگیری فیزیکی و اقلیمی، مشکلات شدید زیست‌محیطی و اکولوژیکی با خطرات متعدد محیطی روبرو هستند (Rahimi, ۱۳۹۳؛ Fahy et al, 2019: 4). سیلاب از مخرب‌ترین خطرهای طبیعی است که جبران آثار آن به خصوص در مناطقی که مظاهر توسعه انسانی در آنجا به چشم می‌خورد (مانند شهرها)، هزینه‌های زیادی را تحمیل می‌کند (صالحی و همکاران، ۱۳۹۲: ۱۷۹). بلایای جهانی در دو دهه گذشته بین سال‌های ۱۹۹۶ تا ۲۰۱۵ افزایش یافته است بیشترین آن مربوط به بلای طبیعی است که سیل شایع‌ترین خطر طبیعی در جهان به طور منظم در اکثر کشورها اتفاق افتاده است. در بسیاری از مناطق به دلیل توسعه اقتصادی و اجتماعی شهرها و فشار بر کاربری اراضی و تغییرات آب‌وهوای جهانی شدت سیلابها به دلیل بارندگی‌های شدید رواناب تولید شده بیشتر و زمان تمرکز کم‌تر امکان تخلیه‌ی مقدار زیاد آب شرایط تخلیه رودخانه‌ها را با مشکل مواجه می‌کند که موجب خساراتی جبران‌ناپذیر می‌شود (Park and Won, 2019: 2; Zhou et al, 2019: 1363).

رونده افزایش سیل در پنج دهه گذشته نشان‌دهنده افزایش تعداد و قوع سیل در دهه هشتاد نسبت به دهه چهل تقریباً ۱۰ برابر شده که درصد افزایش داشته است (امیر احمدی و همکاران، ۱۳۹۰: ۱۸). در اروپا نیز یک‌سوم از هزینه‌های بلایای طبیعی ناشی از وقوع سیل است (Abebe et al, 2018: 3) که در دو دهه گذشته مخرب‌ترین سیلاب‌های آن مانند ایتالیا، فرانسه و سوئیس در سال ۲۰۰۰، در آلپ فوقانی و دانوب در سال ۲۰۰۲ و ۲۰۱۳، در امتداد پایین دانوب در سال ۲۰۰۶، در انگلستان در سال ۲۰۰۷، در لهستان در سال ۲۰۱۰ و در منطقه آدریاتیک در سال ۲۰۱۴، در سال ۲۰۱۱ در کپنه‌اگ و در آلمان و فرانسه در سال ۲۰۱۶ سیلاب شدید شهری رخ داده است (Kron et al, 2019: 197). در ایران نیز به دلیل شرایط اقلیمی، سیلاب‌ها از رخدادهای مکرر و آسیب بار محسوب می‌شوند. روند رو به رشد رخداد سیل در سال‌های اخیر حاکی از آن است که اکثر مناطق کشور در معرض تهاجم سیلاب قرار دارند بر اساس مطالعات انجام شده سالانه نزدیک به چهل سیل بزرگ و کوچک در نقاط مختلف کشور روی می‌دهد. بررسی سیلاب‌های شهری تاریخی نشان می‌دهد که شهرهای ساری، تهران، شوشتر و شیراز سیلاب‌های عظیمی را تجربه کرده‌اند (کرم و درخشان، ۱۳۹۱: ۳۸). شمال شرق ایران بعضی اوقات تحت تأثیر بارش‌های شدید قرار گرفته و درنهایت منجر به سیل و در پی آن بروز خسارات مالی و حتی جانی می‌شود (صفریان زنگیر و همکاران، ۱۳۹۸: ۹۰).

مطالعات مختلف دلالت بر این موضوع دارد که عدم توجه به حریم مسیل‌ها و رودخانه‌ها باعث ایجاد یک رشد نمایی در فراوانی وقوع سیلاب و میزان خسارات واردگردیده است. تشدید سیر صعودی خسارات سیل در دو دهه گذشته سبب شده که آرزوی دیرینه درباره حل قطعی مسئله سیل و رواناب‌ها جای خود را به واقع‌گرایی و درک این واقعیت دهد که همیشه نمی‌توان در مهار سیلاب‌ها موفق بود بلکه باید کوشید تا پیامدهای زیان‌بار و مخرب آن را کاهش داد (نصری، ۱۳۸۸: ۶۷). در این میان مناطق شهری بیشترین پتانسیل خطرپذیری از سیل را دارا می‌باشند. با توجه به اینکه حفاظت کامل از خطر سیلاب امکان‌پذیر نمی‌باشد، زیستن در کنار سیلاب و اعمال سیاست‌های جدید در خصوص مدیریت کاربری اراضی و توسعه مناطق مسکونی حریم رودخانه به منظور کاهش اثرات تخریب آن امری ضروری است (طاهری بهبهانی و همکاران، ۱۳۷۵: ۴).

یکی از روش‌های مدیریتی مواجهه با سیل و کاهش آثار زیانبار آن، شناخت مناطق سیل‌خیز و پهنه‌بندی سیلاب می‌باشد. پهنه‌بندی پتانسیل سیل‌خیز عبارت از تعیین و توصیف مناطق دارای پتانسیل ازنظر رواناب‌های سطحی است. این عمل بر اساس مشابهت خصوصیات مناطق مورد بررسی صورت گرفته و از این طریق امکانات استفاده از پتانسیل هر زون مشخص و ارزیابی می‌شود (اصغری سراسکانرود و همکاران، ۱۳۹۴: ۲۳۲). نقشه پهنه‌بندی خطر سیلاب به منزله ابزاری در برنامه‌ریزی مسیر توسعه آینده شهر و شناخت نواحی برای توسعه زیرساخت‌های تخلیه و زهکشی سیلاب می‌تواند مؤثر باشد (صالحی و همکاران، ۱۳۹۲: ۱۸۲). مکان‌یابی بهترین مناطق پخش سیلاب به دو ابزار مهم نیاز دارد (الف) روشی که وزن یا اهمیت هر کدام از معیارها را در پخش سیلاب نشان دهد (ب) ابزاری که بتواند با انجام تحلیل‌های مکانی مناسب اهمیت هر معیار را در هر مکان (با مختصات معین) مشخص کند (کرمی مقدم و درانی نژاد، ۱۳۹۲: ۲). شهر مراغه، با توجه به موقعیت جغرافیایی خود، در مسیر سیلاب قرار دارد. از جمله عوامل مؤثر وجود رودخانه صوفی چای در وسط شهر که شهر در هر دو ساحل آن گسترش قابل توجهی داشته است و رعایت نکردن خوابط شهرسازی، مسدود و یا تغییر مسیر مسیل‌ها به دلیل توسعه

شهر و ... با آب‌گرفتگی معابر و کند شدن انتقال جریان رواناب در موقع بارندگی در نتیجه باعث تغییر شرایط هیدرولوژیکی شده است. پهنه‌بندی خطر سیلاب با هدف به کارگیری در برنامه‌ریزی و مدیریت در کنترل و مهار سیل تاکنون در شهر مراغه مورد توجه نبوده و در قالب طرح تحقیقاتی و حتی مطالعاتی فعالیت چندانی در این زمینه انجام نگرفته است. لذا به منظور پیش‌بینی دامنه خسارات ناشی از سیلاب در شرایط مختلف اقتصادی و اجتماعی، برنامه‌های کنترل و مهار سیلاب لازم است به شناسایی مناطق مستعد سیل خیزی در شهر مراغه پردازیم.

### مبانی نظری

سیل طغیان آب رودخانه و سرریز شده آن در زمین‌های مجاور یا جریان آب شدید از مناطق با ارتفاع زیاد به پایین دست است که باعث خسارات، تلفات و جانی، سیستم‌های معیشت، دارایی‌های اقتصادی می‌شود (Mohamed, 2019: ۱). توسعه فیزیکی نامناسب شهر بر روی مخرب طبیعی است که هر ساله خسارات فراوانی را به دنبال دارد (حمصی و همکاران، ۱۳۹۱: ۱). توسعه فیزیکی نامناسب شهر مسیل‌های قدیمی مسیر را برای جریان آب سطحی شهر مسدود می‌کند که سبب می‌شود هنگام بارندگی روان آب حاصل از ارتفاعات اطراف به صورت سیل وارد بافت کالبدی شهر شده و خسارات زیادی به بار آورد (احمدزاده و همکاران، ۱۳۹۴: ۲ و ۳). درواقع تحولات هیدرولوژیکی ناشی از شهرسازی و نحوه کاربر اراضی حوضه شهری را می‌توان افزایش حجم رواناب، افزایش دبی پیک، کاهش زمان رسیدن به دبی اوج و نهایتاً تغییرات کیفی آب است که باعث ایجاد سیلاب شهری می‌گردد (یزدانی و همکاران، ۱۳۹۶: ۳۴).

سیلاب شهری، حجم آبی است که خارج از ظرفیت زهکشی شهر می‌باشد (قهوری تالی، ۱۳۸۸: ۱۶۷). زیرساخت‌های جمع‌آوری سیلاب در شهرها را می‌توان به دو دسته تقسیم کرد: دسته‌ی اول شبکه‌های جمع‌آوری سیلاب سطحی شامل مسیرهای زهکشی، جوی‌های کنار جاده‌ای و کانال‌ها و دسته‌ی دوم ساماندهی هدایت سیلاب زیرسطحی شامل تأسیسات انتقال که تونل‌ها، رودهای و خروجی‌های آب به تونل‌ها از این دسته هستند. از آنجا که زیرساخت‌های جمع‌آوری سیلاب می‌تواند سبب تشکیل جریان‌های مصنوعی بر سطح زمین شود که کاملاً مخالف جریان طبیعی آب است، پیچیدگی بیشتری به تحلیل‌های هیدرولوژیکی شبکه مبنا اضافه می‌گردد (عفری و آل شیخ، ۱۳۹۳: ۴۳). برآورد رواناب حاصل از بارش‌های جوی، پایه و مبنای مطالعات بسیاری از طرح‌های مختلف توسعه و بهره‌برداری از منابع آب را تشکیل می‌دهد (نگارش و همکاران، ۱۳۹۳: ۸۲). جهت جلوگیری از افزایش حجم زیاد رواناب‌های سطحی راهکارهای بشکه‌های باران، چاه‌های جذبی، کفپوش‌های نفوذپذیر، باغچه‌های زیستی و همچنین از مخازن نگهداشت در محل‌های اصلی جهت کنترل آب مازاد استفاده می‌شود (هاشمی منفرد و همکاران، ۱۳۹۷: ۲۲۰); بنابراین افزایش شدت سیلاب‌ها در شهرها سبب شده که استراتژی‌های متعددی در مدیریت سیلاب‌های شهری تدوین گردد (قهوری تالی، ۱۳۸۸: ۱۶۸) مانند نقشه‌های پهنه‌بندی که برای پیشگیری، محافظت و آمادگی در هنگام وقوع سیل جلوگیری از ساخت خانه‌ها و صنایع در مناطق مستعد و با تطبیق تحولات حال و آینده استفاده می‌شود (Gersonius et al, 2013: 269). کاربردهای نقشه‌های پهنه‌بندی در مدیریت سیلاب عبارت‌اند از ۱- تعیین حریم و بستر رودخانه‌ها -۲- مطالعه و توجیه اقتصادی طرح‌های عمرانی -۳- پیش‌بینی، هشدار و عملیات امداد و نجات -۴- بیمه‌ی سیل (اصغری سراسکارنو و همکاران، ۱۳۹۴: ۲۳۲). از دیگر کاربردهای مهم این نوع نقشه‌ها استفاده از آن‌ها در حق بیمه خطر است که برای بیمه‌سازی کاربری زمین‌ها و برنامه‌های بیمه‌ای نیاز به نقشه‌های پهنه‌بندی سیل دارند که میزان حق بیمه از هر نوع بالای طبیعی متأثر از شدت و ضعف آن است. از نقشه‌های پهنه‌بندی برای مقاوم‌سازی سازه‌های در برابر خطر، اجتناب از مناطق تحت خطر استفاده می‌شود بنابراین مبنای مهمی برای مدیریت بلایای طبیعی هستند (دهقانی و همکاران، ۱۳۹۵: ۱۴۲).

### پیشینه تحقیق

یمانی و همکاران (۱۳۹۱)، در مقاله‌ای با عنوان «ارزیابی مدل منطق فازی در مقایسه با سایر مدل‌های مفهومی در پهنه‌بندی سیل خیزی با تأکید بر ویژگی‌های ژئومورفولوژیک» به بررسی عوامل مؤثر در وقوع سیل در منطقه دوزدوزان پرداخته است وی از جمله عوامل شیب، لیتوولوژی، اشکال ناهمواری (تیپ‌های فیزیوگرافی)، نوع خاک، CN و وضعیت پوشش گیاهی را با استفاده از مدل‌های منطق فازی، بولین و شاخص‌های همپوشانی در قالب لایه‌های اطلاعاتی، بر اساس شدت و ضعف تأثیرگذاری عوامل پهنه‌ها بررسی کرده است. نتایج نهایی حاصل از مدل‌های مختلف نشان می‌دهد که مدل فازی گاما شاخص‌ترین ابزار مفهومی برای تعیین پهنه‌های در معرض سیل خیزی در منطقه بوده است.

ابراهیم سامی و مریم عبادی : پهنه‌بندی خطر سیلاب شهری با استفاده از تحلیل....

صالحی و همکاران(۱۳۹۲)، در مقاله‌ای با عنوان «پهنه‌بندی خطر سیلاب شهری با استفاده از GIS و فرایند تحلیل سلسه مراتبی فازی» به ارزیابی و پهنه‌بندی خطر سیلاب شهری تهران با استفاده از پنج عامل فاصله از شبکه زهکشی، تجمع جریان، شیب، ارتفاع و اراضی ساخته شده و نشده با روش فرایند تحلیل سلسه مراتبی فازی پرداخته است. نتیجه نهایی نشان می‌دهد که آبراهه‌ها و حیرم آن‌ها، نواحی مرکزی و جنوب شهر بیشترین پتانسیل سیل خیزی را دارند.

محمود زاده و همکاران(۱۳۹۶)، در مقاله‌ای با عنوان «کاربرد تکنیک‌های دورسنجی و GIS برای پهنه‌بندی خطر سیلاب در شهر ارومیه با رویکرد تحلیل چند معیاره» برای پهنه‌بندی خطر سیلاب در محدوده شهری ارومیه از روش ترکیب خطی وزن دار (WLC) و تحلیل‌های چند معیاره فازی استفاده کرده است. وی برای پهنه‌بندی خطر سیلاب از لایه‌هایی ضریب رواناب، تراکم مسکونی، تراکم جمعیت، فاصله از رودخانه، ضریب CN، کاربری زمین، شیب، فضای باز و قدمت ابنيه و برای تراکم پوشش گیاهی از تصویر ماهواره‌ای لنdest ۸ استفاده کرده است. نقشه خطر سیل نشان می‌دهد ۲۲/۳۱ درصد در پهنه خطر خیلی زیاد، ۲۹/۰۸ درصد در پهنه خطر زیاد، ۴۶/۴۵ در پهنه متوسط، ۱۷/۵۲ درصد در پهنه خطر کم و ۴/۶۴ درصد در پهنه خطر خیلی کم از لحاظ سیل قرار گرفته است و مناطق مرکزی بیشترین خطر را نسبت به سایر مناطق دارد.

هزاره و باخرزی قرالحصار(۱۳۹۷)، در مقاله‌ای با عنوان «پهنه‌بندی خطر سیلاب شهری در منطقه ۹ شهرداری مشهد» برای پهنه‌بندی خطر سیلاب شهر مشهد از شش عامل فاصله از رودخانه، ارتفاع، مسیل، تراکم جمعیتی، شیب، جهت شیب، کاربری اراضی استفاده کرده است. وزن دهی داده‌ها بر اساس مدل AHP و در محیط GIS مورد تجزیه و تحلیل قرار گرفته است نتایج نشان می‌دهد که ۷۴٪ از مساحت منطقه در محدوده با خطر کم و خیلی کم و ۲۶٪ در پهنه متوسط تا خیلی زیاد قرار گرفته است.

فرانز و لوتر<sup>۱</sup>(۲۰۱۰) در مقاله‌ای با عنوان «منطقه بندی مناطق خطر سیلاب شهری در استان توکومان آرژانتین با استفاده از GIS و تجزیه و تحلیل تصمیم‌گیری چند متغیره» به منطقه بندی خطر سیلاب شهری با استفاده از سیستم اطلاعات جغرافیایی و تجزیه و تحلیل تصمیم‌گیری چند متغیری پرداخته است و از پنج پارامتر فاصله از کanal‌ها، نقشه شیب، نقشه ارتفاع، آب زیرزمینی و نقشه محدوده شهر برای تجزیه و تحلیل و وزن دهی استفاده کرده است. نقشه‌ی پهنه‌بندی خطر سیلاب نشان می‌دهد که بیشترین خطر سیلاب در بخش جنوبی شهر حاشیه‌ی کanal آب قرار دارد.

دی سلو<sup>۲</sup> و همکاران(۲۰۱۸) در مقاله‌ای با عنوان «مقابله با سیلاب بارانی با نقشه‌های اولیه در مقیاس شهری با استفاده از GIS» به ارزیابی نقشه‌های خطر سیلاب‌های بارانی در مناطق شهری بر اساس شاخص‌های مناطق مستعد سیلاب بارانی (مورفولوژی و تعداد دوره‌های سیل روی داده) و مناطق دارای پتانسیل سیلاب بارانی و اثرات آن بر روی جوامع انسانی، زیستمحیطی، میراث فرهنگی و فعالیت‌های اقتصادی در محیط GIS پرداخته است. نقشه‌های پتانسیل خطر در مقیاس شهری برای تشخیص مناطق در معرض خطر و اولویت-بندي برنامه‌ها و مدیریت کمک می‌کنند.

کعنانی<sup>۳</sup> و همکاران(۲۰۱۹) در مقاله‌ای با عنوان «رویکرد جدید برای ارزیابی حساسیت به سیلاب در مناطق بر اساس تصمیم‌گیری چند معیاره و GIS» با استفاده از (GIS)، منطق فازی و تصمیم‌گیری چند معیار (MCDM) از پنج شاخص: ژئوفیزیک، ژئومورفولوژیکی، هواشناسی، هیدرولوژیکی و جغرافیایی مناطق حساس به سیل را در استان کردستان مورد بررسی قرار دادند. نتایج تحقیق نشان داده که حدود ۸۵٪ از منطقه در منطقه‌ی حساس به سیل بسیار زیاد قرار دارند.

پارک<sup>۴</sup> و همکاران(۲۰۱۹) در مقاله‌ای با عنوان «تجزیه و تحلیل شاخص‌های کاربری ساختمان با پهنه‌بندی خطر بر اساس ارزیابی خطر سیلاب شهری» به بررسی آسیب‌پذیری کاربری‌های شهری در مقابل سیلاب با استفاده از مشخصات ساختمانی و عوامل محیطی پرداخته است که مناطق شهری به چهار منطقه: سیز، زرد، نارنجی و قرمز تقسیم شده که مناطق مسکونی و صنعتی جزء مناطق سیز مناطق صنعتی جزء مناطق قرمز و نارنجی واقع شده است. این مطالعه می‌تواند برای استفاده از مناطق تجاری و مسکونی در آینده مفید باشد و همچنین می‌تواند اطلاعاتی از مناسب بودن محل ساختمان‌ها، وضعیت توزیع و استفاده آن‌ها ارائه کند.

زنگ<sup>۵</sup> و همکاران(۲۰۲۰) در مقاله‌ای با عنوان «ارزیابی چارچوب واکنش به سیلاب شهری مطالعه موردی در سه جامعه» به بررسی

1- Fernández and Lutz

2- Di Salvo

3- Kanani

4- Park

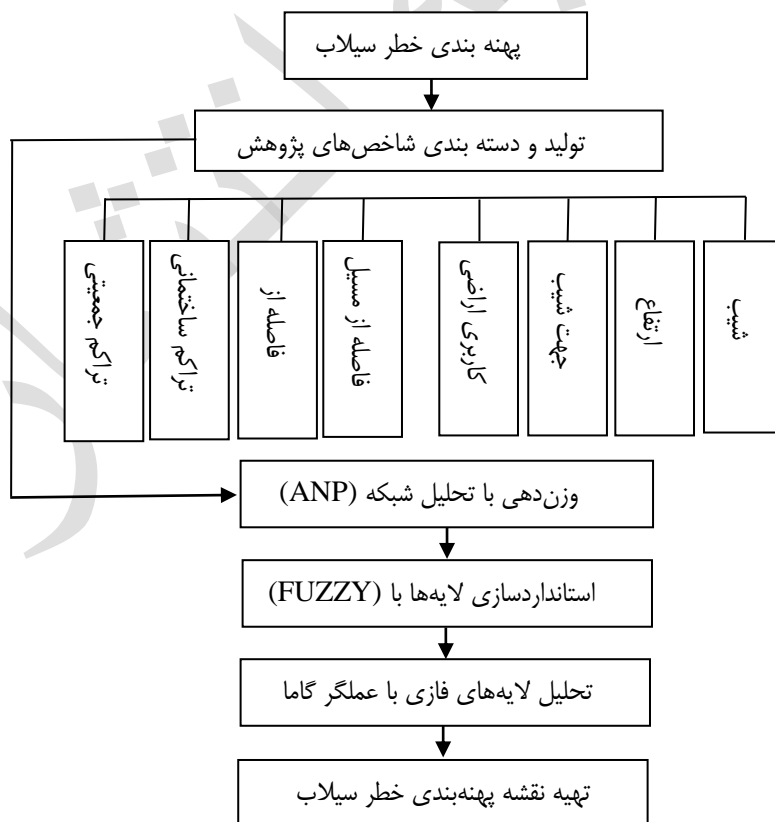
5- Zhong

مقاومت جوامع در مقابل سیلاب با استفاده از روش دلفی فازی و فرایند تحلیل شبکه با استفاده از هفت شاخص (امکانات عمومی، ساختار فضایی کاربری زمین، سازمان‌های مدیریت سیل، قابلیت عملیات نجات، پیش‌بینی آب و هوایی، آسیب‌پذیری جمعیت و توانمندی فردی) بر سه جامعه‌ی ( محله تازه تأسیس شده، قدیمی و روستای مستعد سیل) با استفاده از داده‌های جمع‌آوری شده از پرسشنامه، مصاحبه و تحقیقات میدانی پرداخته است. نتایج تحقیق نشان می‌دهد محله تازه تأسیس شده با میانگین ۲/۱۳ درصد بیشترین مقاومت سیل جامعه در برابر سیل شهری دارد و پس از آن محله قدیمی با ۱/۸ و در آخر روستا با ۰/۹۱ در برابر سیل شهری قرار دارد.

### روش انجام پژوهش

این پژوهش از نظر هدف از نوع کاربردی -توسعه‌ای و از لحاظ روش انجام تحقیق، توصیفی-تحلیلی است و از دو روش کتابخانه‌ای و میدانی استفاده گردیده است. در این پژوهش ابتدا عوامل مؤثر در پهنه‌بندی پتانسیل سیل خیزی از طریق مطالعات کتابخانه‌ای و نظر کارشناسان شناسایی گردید. در مرحله‌ی بعد اهمیت هر یک از معیارها بر اساس نظر ۲۰ نفر از کارشناسان از طریق پرسشنامه مشخص شد. برای تحلیل داده‌های پرسشنامه از مدل تحلیل شبکه ANP استفاده گردید ابتدا اطلاعات وارد نرم‌افزار Super Decisions گردید و ماتریس‌های ناموزون، وزن دار شده و سپس لایه‌های مورد نظر در نرم‌افزار GIS تهیه، طبقه‌بندی، فازی سازی و وزن دار شده و در نهایت نقشه‌ی پهنه‌بندی سیلاب تهیه گردیده است.

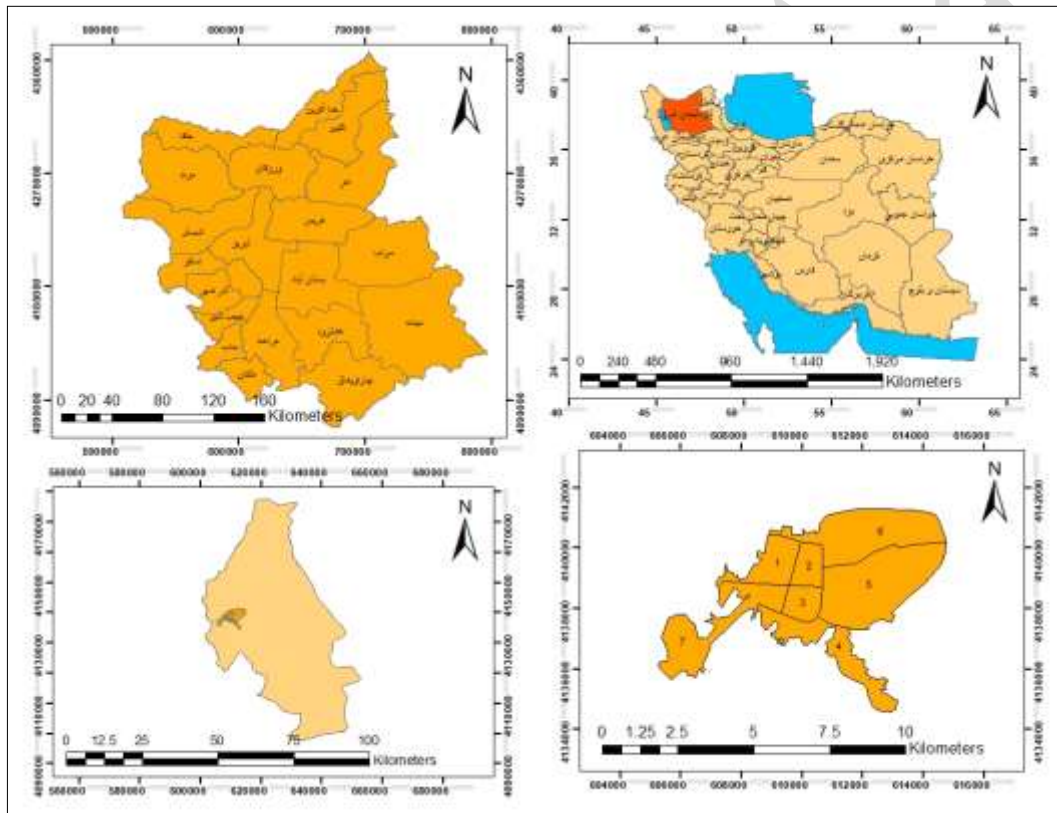
نقشه‌های معیار شامل: تراکم جمعیت، تراکم ساختمانی، شبیب جهت شبیب، ارتفاع، رودخانه، کاربری اراضی و مسیل در محیط نرم‌افزار ArcGis تهیه گردید که نقشه‌ی ارتفاع از روی منحنی میزان منطقه ۱۰ متری و شبیب و جهت شبیب از روی نقشه ارتفاع به دست آمد. نقشه کاربری اراضی محدوده مطالعاتی با استفاده از ابزار Maximum likelihood در محیط نرم‌افزار Envi با استفاده از تصاویر ماهواره landsat8 تهیه شده است. نقشه آبراهه‌ها از نقشه توپوگرافی و نقشه‌ی فاصله از خطوط آبراهه در محیط ArcGis با استفاده از تابع Distant Education از توابع Spatial Analyst tools تهیه و به ۵ کلاس طبقه‌بندی گردید. پس از زمین مرجع کردن لایه‌های مورد نیاز توابع عضویت فازی به نقشه‌های فازی شده تبدیل شدند. در نهایت از عملگر جمع و ضرب و گامای فازی برای تلفیق و مدل‌سازی استفاده شده و نقشه‌ی پهنه‌بندی خطر سیلاب تهیه گردید شکل ۱، مدل مفهومی پژوهش را بر اساس مبانی نظری نشان می‌دهد.



شکل ۱. نمودار روش پژوهش

## محدوده مورد مطالعه

شهرستان مراغه با مختصات جغرافیایی ۴۵ درجه و ۳۰ دقیقه طول شرقی و ۳۶ درجه و ۵۲ دقیقه تا ۳۷ درجه و ۳۸ دقیقه عرض شمالی در جنوب غرب استان آذربایجان شرقی واقع شده است و یکی از ۲۰ شهرستان این استان محسوب می‌شود. مساحت آن در حدود  $4146/3$  کیلومترمربع است که حدود  $8/8$  درصد از کل مساحت استان را در بر می‌گیرد. شهرستان مراغه از شمال به شهرستان تبریز؛ از شرق به شهرستان‌های بستان-آباد، هشت‌تپه و چاراویماق؛ از غرب به شهرستان‌های اسکو، عجب‌شیر، بناب و ملکان؛ و از جنوب به استان آذربایجان غربی محدود می‌گردد. شهرستان مراغه دارای دو بخش مرکزی و خواجه است که شامل دو شهر، شش دهستان و ۱۶۶ آبادی دارای سکنه می‌باشد. شهرهای مراغه و خواجه نقاط شهری این شهرستان هستند که شهر مراغه به عنوان مهم‌ترین نقطه شهری و مرکز شهرستان محسوب می‌شود. شهر در کنار رودخانه صوفی چای واقع شده است و از شمال به کوه‌های قشلاق و آشان و از جنوب به باغات ورجوی، از شرق به باغات و مزارع از غرب به کوه رصد محدود می‌گردد. این شهر در ۳۷ درجه و ۲۳ دقیقه عرض شمالی و ۴۶ درجه و ۱۶ دقیقه طول شرقی واقع شده است و ارتفاع آن از سطح دریا حدود ۱۳۹۰ متر می‌باشد. مسیر راه آهن تهران-تبریز از مجاورت این شهر عبور می‌کند (مهندسین مشاور نقش محیط، ۱۳۹۰، ۹) شکل ۲، موقعیت جغرافیایی شهر مراغه را نشان می‌دهد.

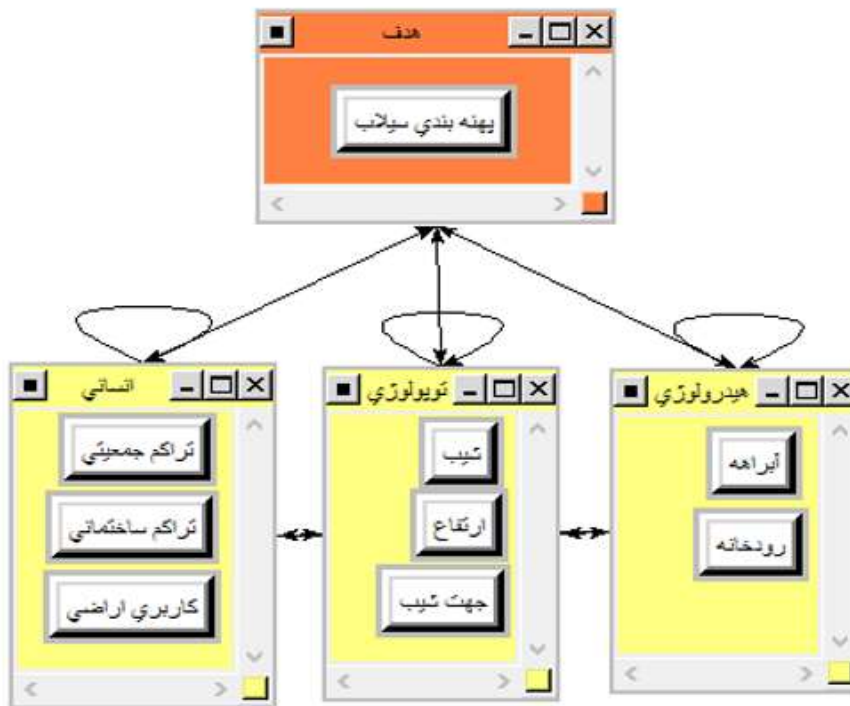


شکل ۲. موقعیت جغرافیایی شهر مراغه

## یافته‌ها

برای تعیین و انتخاب نیرو محرکه‌های اثرگذار بر سیلاب محدوده، ضمن بررسی و مطالعه مستندات علمی و معتبر و در نظر گرفتن شرایط منطقه، از نظرسنجی کارشناسان اجرایی و صاحب‌نظران دانشگاهی استفاده گردید. در مدل فرآیند تحلیل شبکه با در نظر گرفتن ارتباط شبکه‌ای موجود بین خوشها و زیر معیارها و نیز ارتباط درونی آن‌ها با هم ماتریس‌های مربوط به مقایسات زوجی تهیه گردید. با توجه به حجم بالای محاسبات و مقایسات بین عناصر شبکه و برای راحتی و افزایش دقت کار در به دست آوردن بردار اهمیت معیارها و سوپرماتریس‌ها از نرم‌افزار Super Decision استفاده شده است که در آن با وارد کردن ماتریس‌های مقایسات زوجی، به ترتیب

سوپرماتریس ناموزون اولیه (جدول ۱) سوپرماتریس موزون اولیه (جدول ۲) و سوپر ماتریس حد (جدول ۳) به دست آمد. در محله اول به تعیین دسته‌ها و وابستگی بین آن‌ها پرداخته می‌شود. نمای این ساختار در شکل شماره ۳ نشان داده شده است.



شکل ۳. نمودار مدل تحلیل شبکه‌ی (ANP)

### تشکیل سوپرماتریس اولیه یا غیر وزنی

جدول ۱، سوپرماتریس اولیه را نشان می‌دهد که برای تحلیل شبکه نخست باید عناصر هر خوشة، روابط بین خوشه‌ها و روابط درونی تمامی عناصر مقایسه شود. ماتریس‌های حاصل از هریک از محاسبات در کنار هم قرار می‌گیرند و تشکیل یک سوپرماتریس یا ابر ماتریس می‌دهند. در واقع با اجتماع بردارهای ویژه به دست آمده از مقایسه‌های عناصر در یک ماتریس، ماتریس ویژه ناموزون به دست می‌آید.

جدول ۱. تشکیل سوپرماتریس اولیه برای هریک از خوشه‌ها و معیارهای موثر بر پهنہ‌بندی سیلان

متغیرها		انسانی			توبولوژی			هیدرولوژی		
		تراکم جمعیتی	تراکم ساختمانی	تراکم اراضی	ارتفاع	جهت شیب	شیب	آبراهه	رودخانه	
انسانی	تراکم جمعیتی	/۰.۴۵۴۵	/۰.۵۵۹۱	/۰.۵۵۹۱	/۰.۵۵۹۱	/۰.۵۵۹۱	/۰.۵۵۹۱	/۰.۵۵۹۱	/۰.۵۵۹۱	
	تراکم ساختمانی	/۰.۴۵۴۵	/۰.۳۵۲۲	/۰.۳۵۲۲	/۰.۳۵۲۲	/۰.۳۵۲۲	/۰.۳۵۲۲	/۰.۳۵۲۲	/۰.۳۵۲۲	
	کاربری اراضی	/۰.۰۹۰۹	/۰.۰۸۸۷	/۰.۰۸۸۷	/۰.۰۸۸۷	/۰.۰۸۸۷	/۰.۰۸۸۷	/۰.۰۸۸۷	/۰.۰۸۸۷	
توبولوژی	ارتفاع	/۰.۵۴۶۹	/۰.۵۴۶۹	/۰.۵۴۶۹	/۰.۵۴۶۹	/۰.۵۴۶۹	/۰.۵۴۶۹	/۰.۵۴۶۹	/۰.۵۴۶۹	
	جهت شیب	/۰.۱۰۸۵	/۰.۱۰۸۵	/۰.۱۰۸۵	/۰.۱۰۸۵	/۰.۱۰۸۵	/۰.۱۰۸۵	/۰.۱۰۸۵	/۰.۱۰۸۵	
	شیب	/۰.۳۴۴۵	/۰.۳۴۴۵	/۰.۳۴۴۵	/۰.۳۴۴۵	/۰.۳۴۴۵	/۰.۳۴۴۵	/۰.۳۴۴۵	/۰.۳۴۴۵	
هیدرولوژی	آبراهه	/۰.۷۵۰۰	/۰.۷۵۰۰	/۰.۷۵۰۰	/۰.۷۵۰۰	/۰.۷۵۰۰	/۰.۷۵۰۰	/۰.۷۵۰۰	/۰.۷۵۰۰	
	رودخانه	/۰.۲۵۰۰	/۰.۲۵۰۰	/۰.۲۵۰۰	/۰.۲۵۰۰	/۰.۲۵۰۰	/۰.۲۵۰۰	/۰.۲۵۰۰	/۰.۲۵۰۰	

### تشکیل سوپرماتریس وزنی

بعد از اینکه ماتریس ویژه ناموزون به دست آمد، ممکن است بعضی ستون‌ها به صورت ستون‌های احتمالی نبوده یا به عبارت ساده‌تر حاصل جمع عناصر ستون‌ها برابر یک نباشد. در این حالت نمی‌توان گفت که تأثیر نهایی ملاک کنترلی مورد نظر بر تمامی عناصر به درستی نشان داده شده است. برای جلوگیری از این حالت با استفاده از نتایج به دست آمده در قسمت مقایسه دسته‌ها عمل کرده که با ضرب مقادیر نرمال

ابراهیم سامی و مریم عبادی : پنهانه‌بندی خطر سیالاب شهری با استفاده از تحلیل....

شده متناظر هر ملاک به نسبت تأثیر خود و نرمال‌سازی نهایی ستون‌ها ماتریس ویژه موزون طبق جدول (۲) به دست می‌آید.

**جدول ۲. تشکیل سوپرماتریس وزنی برای هریک از خوش‌ها و معیارهای موثر بر پنهانه‌بندی سیالاب**

متغیرها		انسانی				توبولوژی				هیدرولوژی	
		تراکم جمعیتی	تراکم ساختمانی	تراکم اراضی	ارتفاع	جهت شیب	شیب	آبراهه	روdxانه	آبراهه	
انسانی	تراکم جمعیتی	۰/۳۴۲۳	۰/۴۲۱۰	۰/۴۲۱۰	۰/۴۲۱۰	۰/۴۲۱۰	۰/۴۲۱۰	۰/۴۲۱۰	۰/۴۲۱۰	۰/۴۲۱۰	
	تراکم ساختمانی	۰/۳۴۲۳	۰/۲۶۵۲	۰/۲۶۵۲	۰/۲۶۵۲	۰/۲۶۵۲	۰/۲۶۵۲	۰/۲۶۵۲	۰/۲۶۵۲	۰/۲۶۵۲	
	کاربری اراضی	۰/۰۶۸۵	۰/۰۶۸۸	۰/۰۶۸۸	۰/۰۶۸۸	۰/۰۶۸۸	۰/۰۶۸۸	۰/۰۶۸۸	۰/۰۶۸۸	۰/۰۶۸۸	
توبولوژی	ارتفاع	۰/۱۰۰۶	۰/۱۰۰۶	۰/۱۰۰۶	۰/۱۰۰۶	۰/۱۰۰۶	۰/۱۰۰۶	۰/۱۰۰۶	۰/۱۰۰۶	۰/۱۰۰۶	
	جهت شیب	۰/۰۱۹۹	۰/۰۱۹۹	۰/۰۱۹۹	۰/۰۱۹۹	۰/۰۱۹۹	۰/۰۱۹۹	۰/۰۱۹۹	۰/۰۱۹۹	۰/۰۱۹۹	
	شیب	۰/۰۶۳۴	۰/۰۶۳۴	۰/۰۶۳۴	۰/۰۶۳۴	۰/۰۶۳۴	۰/۰۶۳۴	۰/۰۶۳۴	۰/۰۶۳۴	۰/۰۶۳۴	
هیدرولوژی	آبراهه	۰/۰۴۷۲	۰/۰۴۷۲	۰/۰۴۷۲	۰/۰۴۷۲	۰/۰۴۷۲	۰/۰۴۷۲	۰/۰۴۷۲	۰/۰۴۷۲	۰/۰۴۷۲	
	روdxانه	۰/۰۱۵۷	۰/۰۱۵۷	۰/۰۱۵۷	۰/۰۱۵۷	۰/۰۱۵۷	۰/۰۱۵۷	۰/۰۱۵۷	۰/۰۱۵۷	۰/۰۱۵۷	

### محاسبه بردار وزنی عمومی یا سوپرماتریس حدی

در هنگام رسم شبکه‌ای از عناصر و دسته‌ها بعضی از تأثیرها به صورت مستقیم و آشکار بوده و به صورت مستقیم رسم می‌شوند؛ ولی برخی از تأثیرهای پنهان، در شبکه‌ای از ابستگی‌ها وجود دارد که به خاطر عدم وجود ارتباط مستقیم رسم نمی‌شوند؛ بنابراین از قابلیت‌های بسیار مهم روش تحلیل شبکه‌ای این است که این تأثیرات را نیز در نظر بگیرد. براساس جدول ۳، در ابر ماتریس حدی همه اعداد و ارزش‌های ماتریس وزنی، در یک عدد ثابت به توان رسانده می‌شود و این کار آن قدر ادامه پیدا می‌کند تا یک ضریب یکسان برای هر عنصر و گزینه ایجاد شود.

**جدول ۳. محاسبه بردار وزنی عمومی یا سوپرماتریس حدی برای هریک از خوش‌ها و معیارهای موثر بر پنهانه‌بندی سیالاب**

متغیرها		انسانی				توبولوژی				هیدرولوژی	
		تراکم جمعیتی	تراکم ساختمانی	تراکم اراضی	ارتفاع	جهت شیب	شیب	آبراهه	روdxانه	آبراهه	
انسانی	تراکم جمعیتی	۰/۳۹۰۳	۰/۳۹۰۳	۰/۳۹۰۳	۰/۳۹۰۳	۰/۳۹۰۳	۰/۳۹۰۳	۰/۳۹۰۳	۰/۳۹۰۳	۰/۳۹۰۳	
	تراکم ساختمانی	۰/۲۹۵۳	۰/۲۹۵۳	۰/۲۹۵۳	۰/۲۹۵۳	۰/۲۹۵۳	۰/۲۹۵۳	۰/۲۹۵۳	۰/۲۹۵۳	۰/۲۹۵۳	
	کاربری اراضی	۰/۰۶۷۵	۰/۰۶۷۵	۰/۰۶۷۵	۰/۰۶۷۵	۰/۰۶۷۵	۰/۰۶۷۵	۰/۰۶۷۵	۰/۰۶۷۵	۰/۰۶۷۵	
توبولوژی	ارتفاع	۰/۱۰۰۶	۰/۱۰۰۶	۰/۱۰۰۶	۰/۱۰۰۶	۰/۱۰۰۶	۰/۱۰۰۶	۰/۱۰۰۶	۰/۱۰۰۶	۰/۱۰۰۶	
	جهت شیب	۰/۰۱۹۹	۰/۰۱۹۹	۰/۰۱۹۹	۰/۰۱۹۹	۰/۰۱۹۹	۰/۰۱۹۹	۰/۰۱۹۹	۰/۰۱۹۹	۰/۰۱۹۹	
	شیب	۰/۰۶۳۴	۰/۰۶۳۴	۰/۰۶۳۴	۰/۰۶۳۴	۰/۰۶۳۴	۰/۰۶۳۴	۰/۰۶۳۴	۰/۰۶۳۴	۰/۰۶۳۴	
هیدرولوژی	آبراهه	۰/۰۴۷۲	۰/۰۴۷۲	۰/۰۴۷۲	۰/۰۴۷۲	۰/۰۴۷۲	۰/۰۴۷۲	۰/۰۴۷۲	۰/۰۴۷۲	۰/۰۴۷۲	
	روdxانه	۰/۰۱۵۷	۰/۰۱۵۷	۰/۰۱۵۷	۰/۰۱۵۷	۰/۰۱۵۷	۰/۰۱۵۷	۰/۰۱۵۷	۰/۰۱۵۷	۰/۰۱۵۷	

### ماتریس خوش‌ها

جدول ۴، آخرین مرحله برای تعیین ارزش و ضریب نهایی عناصر گزینه، محاسبه نتایج ماتریس خوش‌ها و نرمال‌سازی ضریب عناصر و گزینه‌ها در ابر ماتریس حدی توسط ضریب خوش‌ها می‌باشد.

**جدول ۴. محاسبه ماتریس خوش‌ها**

هدف	انسانی	توبولوژی	هیدرولوژی
هدف	۰/۰۰۰۰	۰/۰۰۰۰	۰/۰۰۰۰
انسانی	۰/۳۳۳۳	۰/۷۵۳۱	۰/۷۵۳۱
توبولوژی	۰/۳۳۳۳	۰/۱۸۳۹	۰/۱۸۳۹
هیدرولوژی	۰/۳۳۳۳	۰/۰۶۲۹	۰/۰۶۲۹

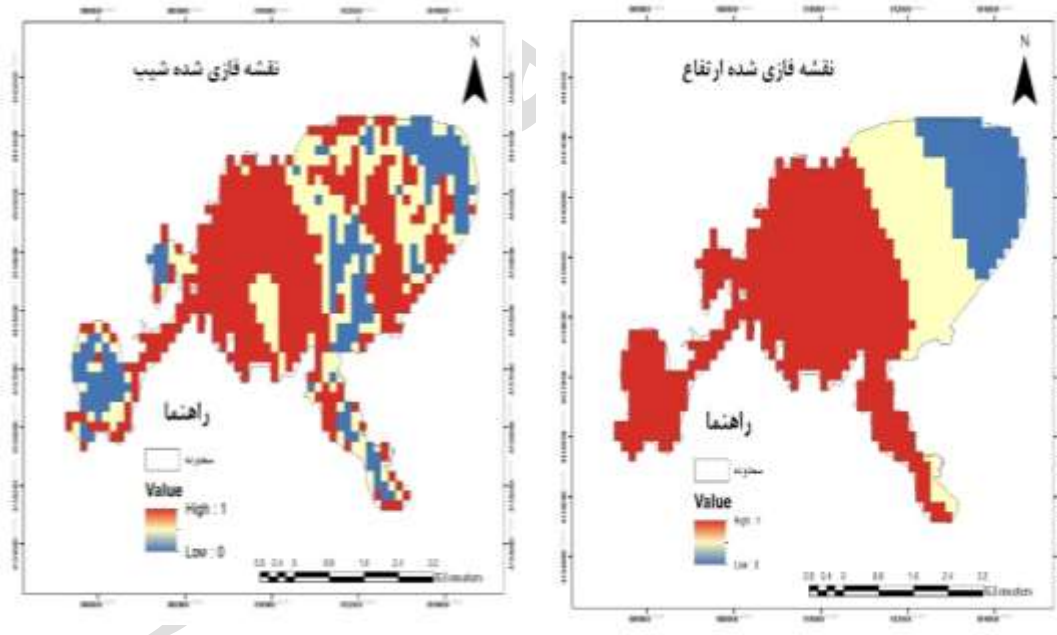
با به دست آمدن سوپرمتريس‌های ناموزون، موزون و حد، در نهايیت وزن هر يك از زير معيارها به دست آمد که در واقع ضريب تأثير هر يك از معيارها را در سيل خيزى محدوده مورد مطالعه را نشان مي‌دهد. بر اين اساس جدول(۵) اهميت نهايی سه معivar با عنوان آبراهه (۰/۷۵۰۰)، ارتفاع (۰/۵۴۶۹) و تراكم جمعيتي (۰/۵۱۸۲) به ترتيبی که ذکر شد، بيشترین اهميت و در نتيجه بيشترین تأثير را در پهنه‌بندی سيلاب خواهند داشت.

**جدول ۵. وزن نهايی هر يك از معivarها موثر بر پهنه‌بندی سيلاب**

وزن معivar	معivar	وزن معivar	معivar
۰/۳۴۴۵	شيب	۰/۵۱۸۲	تراكم جمعيتي
۰/۱۰۸۵	جهت شيب	۰/۳۹۲۱	تراكم ساختماني
۰/۷۵۰۰	آبراهه	۰/۰۸۹۵	كاربرى اراضى
۰/۲۵۰۰	رودخانه	۰/۵۴۶۹	ارتفاع

#### آماده‌سازی داده‌ها

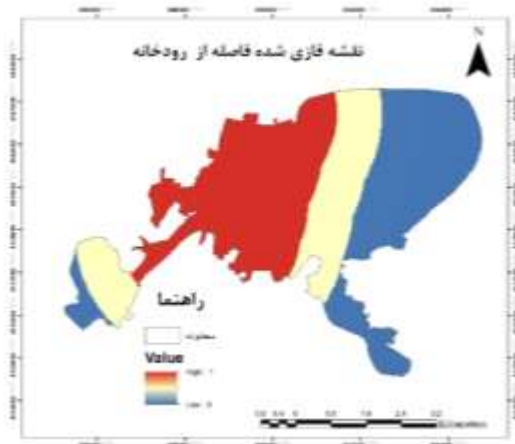
در اين مرحله از پژوهش، پردازش و تحليل داده‌ها با توجه به پارامترهای تراكم جمعیت، تراكم ساختمانی، شیب، جهت شیب، ارتفاع، رودخانه، کاربری اراضی و آبراهه صورت گرفته است. پس از آماده‌سازی و تهیه لایه‌های اطلاعاتی، کلاس‌های هر معivar با استفاده از توابع عضویت فازی‌سازی گردید. شکل‌های ۴، ۵، ۶، ۷، ۸، ۹، ۱۰ و ۱۱ نقشه فازی شده هریک از معivarها را نشان می‌دهد.



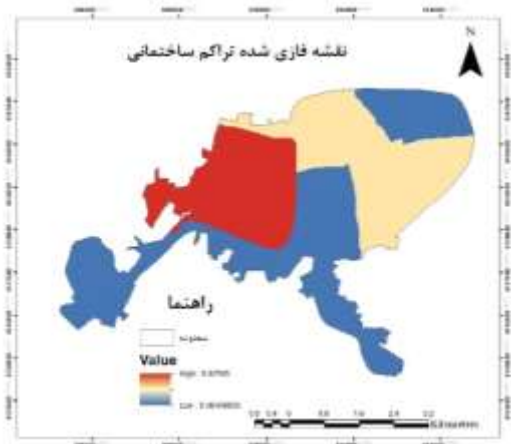
شکل ۵. نقشه فازی شیب

شکل ۴. نقشه فازی ارتفاع

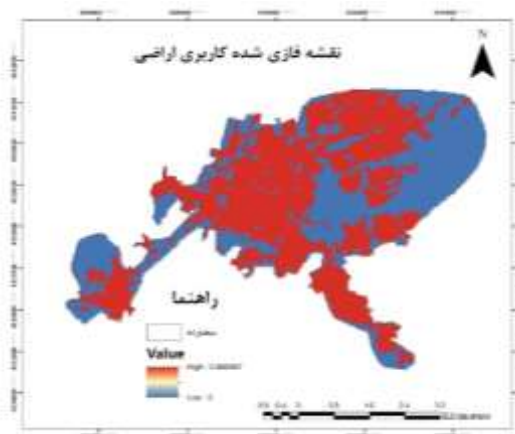
ابراهیم سامی و مریم عبادی : پنهانی خطر سیلاب شهری با استفاده از تحلیل....



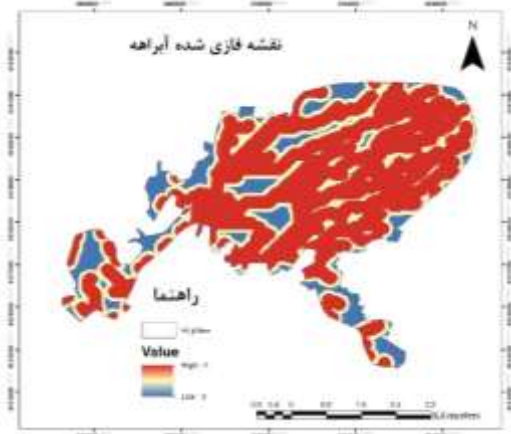
شکل ۷. نقشه فازی فاصله از رودخانه



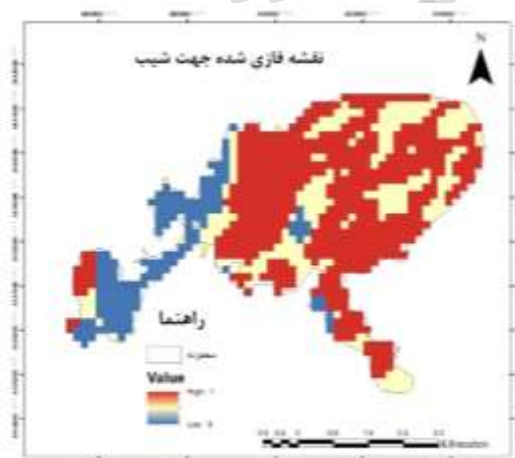
شکل ۶. نقشه فازی تراکم ساختمانی



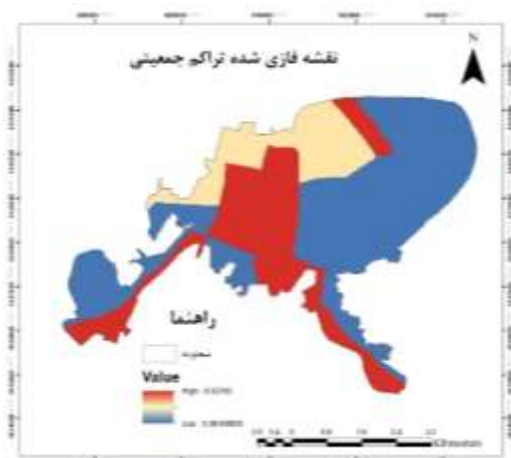
شکل ۹. نقشه فازی کاربری اراضی



شکل ۸. نقشه فازی آبراهه

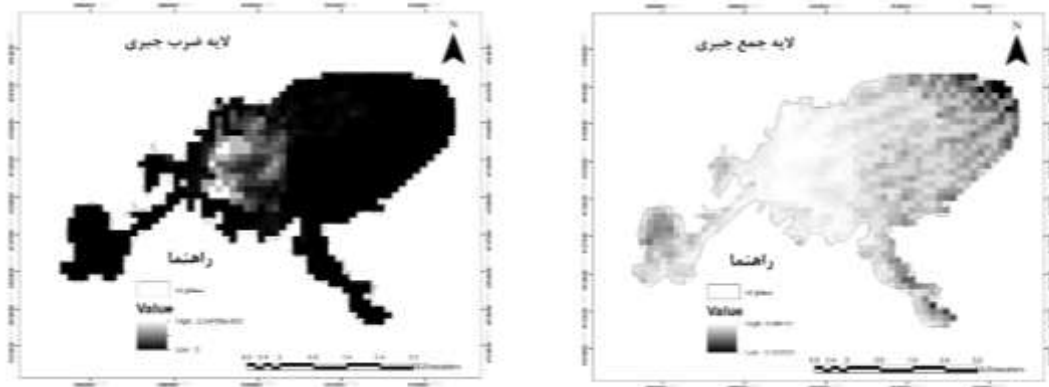


شکل ۱۱. نقشه فازی جهت شیب



شکل ۱۰. نقشه فازی تراکم جمعیتی

بعد از فازی سازی و ضرب وزن ها در لایه های فازی شده عملگرهای ضرب و جمع بر روی لایه های فازی شده اجرا می شود. مقایسه نقشه های جمع و ضرب (شکل ۱۲) نشان می دهد که نقشه ای حاصل از عملگر جمع فازی در مقایسه با نقشه به دست آمده به وسیله عملگر ضرب فازی سطوح با خطر زیاد سیلاب، مساحت بیشتری دارند.

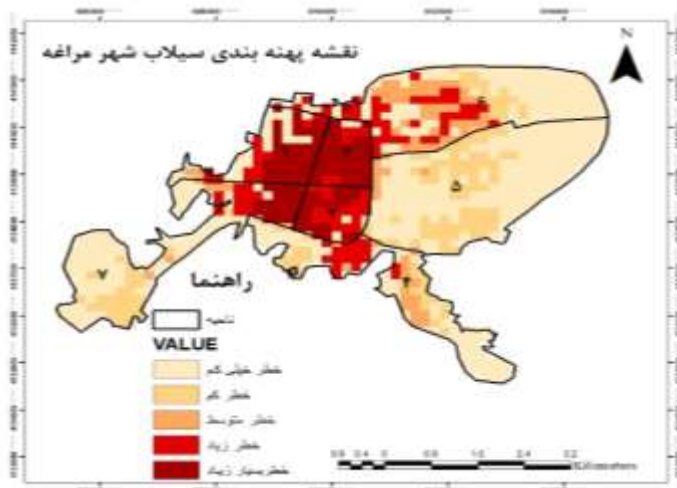


شکل ۱۲. نقشه‌های حاصل از ضرب و جمع فازی

در نهایت نقشه نهایی پهنگندی خطر سیلاب و تعدیل نقشه‌های عملگرهای جمع جبری و ضرب جبری، از عملگر گامای ۹/۰ در محیط ArcGIS 10.2 استفاده و به پنج کلاس طبقه‌بندی شده است. جدول شماره (۶) نشان می‌دهد که مناطقی با خطر بسیار زیاد ۳/۱۲۶ هکتار، مناطقی با خطر زیاد ۳/۴۴ هکتار، مناطقی با خطر متوسط ۲/۱۸۰ هکتار و مناطقی با خطر بسیار کم ۱۳/۵۹۵ هکتار می‌باشد. همچنین با توجه به شکل شماره (۱۴)، پهنگهای با خطر سیل خیزی بسیار زیاد در مرکز شهر مراغه نواحی ۱ و ۲ و ۳ با تراکم جمعیتی و ساختمانی بالا در حاشیه رودخانه صوفی چای و در مناطق منطبق بر مسیلهای عبوری از شهر قرار دارند و مناطق با خطر کم و بسیار کم در محدوده حاشیه‌ای شهر واقع گردیده‌اند.

جدول ۶. مساحت پهنگهای خطرپذیر سیلاب محدوده مورد مطالعه

ردیف	طبقه‌ی خطرپذیری	مساحت برحسب هکتار	درصد
۱	خطر بسیار زیاد	۳/۱۲۶	۱۱/۷۷
۲	خطر زیاد	۳/۴۴	۱۲/۹۵
۳	خطر متوسط	۲/۱۸۰	۸/۲۱
۴	خطر کم	۴/۲۱۶	۱۵/۸۸
۵	خطر بسیار کم	۱۳/۵۹۵	۵۱/۱۹



شکل ۱۴. نقشه پهنگه بندی سیلاب شهر مراغه

## بحث و نتیجه‌گیری

تئییه نقشه پهنه‌بندی سیلاب گامی مهم در مدیریت و جلوگیری از سیل خیزی در مناطق آسیب‌دیده است. نقشه‌های پهنه‌بندی سیلاب، دانشی را در مورد عوامل مؤثر بر وقوع سیل و علل آن، ارائه می‌دهد. بدینه است چنین اطلاعاتی می‌تواند در مدیریت رسک و کاهش خسارت آن مفید باشد. به همین منظور پژوهش حاضر به منظور پهنه‌بندی خطر سیلاب با استفاده از روش تحلیل شبکه و روش فازی در شهر مراغه انجام گرفت. به همین منظور ابتدا فاکتورهای مؤثر در سیلاب شناسایی و در محیط نرمافزار Super decision وزن هر کدام از فاکتورها مشخص گردید، سپس وزن‌های به دست با لایه‌های فازی شده در محیط arc map اعمال و نقشه نهایی پهنه‌بندی سیلاب به دست آمد. در این پژوهش سه معیار با عنوان آبراهه، ارتفاع و تراکم جمعیتی به ترتیبی که ذکر شد، بیشترین اهمیت را به خود اختصاص دادند. بررسی نتایج نشان می‌دهد که ۳۲/۹۳ درصد منطقه مورد مطالعه داری خطر متوسط به بالا هستند. عدمهای مناطق با خطر زیاد سیلاب در مرکز شهر مراغه نواحی ۱ و ۲ و ۳ با تراکم جمعیتی و ساختمانی بالا در حاشیه رودخانه صوفی چای و در مناطق منطبق بر مسیل‌های عبوری از شهر قرار دارند و مساحت ۲/۱۸۰ هکتار از محدوده با خطر متوسط در ناحیه ۶ و ۴ که توسعه جدید شهر به این قسمت است، مساحت محدوده با خطر کم ۴/۲۱۶ هکتار و در محدوده با خطر بسیار کم ۱۳/۵۹۵ که مربوط به نواحی ۵ و ۷ در حاشیه شهر واقع شده است. مدل مورد در این پژوهش با توجه به در نظر گرفتن وابستگی درونی و بیرونی و جلوگیری از تأثیر مستقیم نظر کارشناسان قابلیت مناسبی را در پهنه‌بندی سیلاب دارا می‌باشد. نتایج مطالعات محققانی چون صالحی و همکاران (۱۳۹۲)، محمودزاده و همکاران (۱۳۹۶) و هزاره و همکاران (۱۳۹۷) تأکید بر مناسب بودن تحلیل فازی و مدل‌های تصمیم‌گیری در پهنه وقوع سیلاب دارند. با توجه به نتایج پژوهش تقریباً ۳۳ درصد منطقه در محدوده خطر متوسط به بالا قرار گرفته است و این تهدید جدی برای ساکنان این نواحی تلقی می‌شود و لازمه توجه جدی تصمیم‌گیرندگان و برنامه ریزان محیطی است.

## راهکارها

به دلیل واقع شدن و نزدیکی رودخانه و نواحی سیل خیز به سکونتگاه‌های انسانی، از مسئولان ذی‌ربط تقاضا می‌شود تا از گسترش و نفوذ شهرنشینی در مناطق سیل خیز جلوگیری کنند و برای مناطقی که احتمال رسک بالای سیلاب دارند، حتماً برنامه‌های کنترل و مهار سیلاب در نظر گرفته شود.

از تغییر کاربری و تخریب مراتع در محدوده و حوضه رودخانه صوفی چای ممانعت گردد.  
از آن جا که بیشتر تحقیقات کشور در حال حاضر بر مبنای روش‌های آکادمیک صورت می‌گیرد، مدل معرفی شده در این تحقیق این قابلیت را دارد تا ابزاری جهات کمک به تصمیم‌سازی و تدوین برنامه‌های مدیریت رسک سیلاب باشد. در حقیقت این روش از علل به وجود آورنده پدیده تا اقدامات و سیاست‌های اتخاذ شده و حتی مورد نیاز را شناسایی و بررسی می‌کند.

## References

- Abebe, Y. A., Ghorbani, A., Nikolic, I., Vojinovic, Z., & Sanchez. A. (2018). A coupled flood-agent-institution modelling (CLAIM) framework for urban flood risk management. *Environmental Modelling and Software*, 111, 483-492.
- Ahmadzadeh, H., Saeedabadi, R and Nouri, E., (2014). A Study and Zoning of the Areas Prone to Flooding with an Emphasis on Urban Floods (Case Study: City of Maku). *Journal of Hydrogeomorphology*, 2, 1-23. (In Persian)
- Amir Ahmadi, A., Behniafar, A and Ebrahimi, M., (2019). Micro zoning of flood risk in Sabzevar city in the direction of sustainable urban development. *Journal of Urban Planning and Research*, 4(7), 17-32. (In Persian)
- Asghari Saraskanroud, f., Pirouzi, E and Zainali, B., (2014). Flood risk zoning in As Laghan Chai watershed using Vicor model. *Quantitative Geomorphology Research*, 3, 245-231. (In Persian)
- Dehghani, M., Abbas Nejad, A., and Negarestan, H., (2015) Assessment of Flood Hazard and its Zoning in Baft Plain (South East Part of Iran). *Geography and Territorial Spatial Arrangement*, 20, 141-152. (In Persian)

- Di Salvo, C., Pennica, F., Ciotoli, G., & Cavinato, G.P. (2018). A GIS-based procedure for preliminary mapping of pluvial flood risk at metropolitan scale. *Environmental Modelling and Software*, 107, 64-84.
- Fahy, B., Brenneman, E., Chang, H., & Shandas, V. (2019). Spatial analysis of urban flooding and extreme heat hazard potential in Portland. *International Journal of Disaster Risk Reduction*, 39, 101-117.
- Fernández, D.S., & Lutz, M.A. (2010). Urban flood hazard zoning in Tucumán Province, Argentina, using GIS and multicriteria decision analysis. *Engineering Geology*, 111, 90–98
- gahrvardi Tali, M., (2008). Application of integrated urban flood model in large cities (case study: northeast of Tehran). *Geography and regional planning*, 178-167. (In Persian)
- Gersonius, B., Zevenbergen, C., & van Herk, S. (2013). Managing flood risk in the urban environment: linking spatial planning, risk assessment. *communication and policy*, 263-275.
- Hashemi Monfared, S.A., Azizian, G., Derakhshan Alamdar, P. and Raispour, J., (2017). Investigating of the Existing Urban Drainage Systems for the Passage of Floods and the Possibility of Its Modification Using SWMM5 (Case Study: Darab county). *Journal of Natural Environmental Hazards*, 15, 219-236. (In Persian)
- Hezara, V., Bakharzai Ghazalhasar, M., (2017). Urban flood risk zoning in zone 9 of Mashhad. *Geography and Human Relationships*, 1(2), 1140-1158. (In Persian)
- Homsi, M., Ong, M. and Salahi Esfahani, G., (2011). The effect of land use change on flood zoning: a case study of villages in Azran Kashan watershed. The third national conference on comprehensive management of water resources, *Sari University of Agricultural Sciences and Natural Resources*. (In Persian)
- Jafari, H., and Al-Sheikh, A., (2013). Developing an Urban Inundation Simulation Model by Considering Storm water Infrastructures. *Emergency Management*, 7 (42), 41-50. (In Persian)
- Kanani-Sadat, Y., Arabsheibani, R., Karimipour, F., & Nasseri, M. (2019). A New Approach to Flood Susceptibility Assessment in Data-Scarce and Ungauged Regions Based on GIS-based Hybrid Multi Criteria Decision-Making Method. *Journal of Hydrology*, 572:17-31
- Karam, A., Derakhshan, F., (2011). Flood zoning, flood estimation and efficiency evaluation of surface water disposal channels in urban basins (case study: Abshuran basin in Kermanshah). *Natural Geography*, 16, 37-54. (In Persian)
- Karmi Moghadam, S. and Duraninejad, M., (2012). Zoning of suitable areas for flood spreading in Sarvostan plain using hierarchical analysis and Boolean method in GIS environment. *The 6th National Conference on Watershed Management and Water and Soil Resources Management*. (In Persian)
- Krona, W., Eichner, J., Kundzewicz, Z. W. (2019). Reduction of flood risk in Europe Reflections from a reinsurance perspective. *Journal of Hydrology*, 576, 197–209
- Mahmoudzadeh, H., Yari, F. and Vahedi, A., (2016). The Application of Remote sensing and GIS Techniques for Flood Risk Zoning Multi Criteria Approach, Urmia, Iran. *Physical Geography Research*, 4, 730-719. (In Persian)
- Mohamed, S.A. (2019). Application of satellite image processing and GIS-Spatial modeling for mapping urban areas prone to flash floods in Qena governorate, Egypt. *Journal of African Earth Sciences*, 158, 1-15.
- Nasri, M., (2008). Investigating the floods and the network of canals affecting the city of Zavareh and paying attention to it in urban planning. *Geographical Perspective*, 2, 1-12. (In Persian)
- Negarest, H., Tavousi, T. and Mehdi Nasab, M., (2013). Modeling production runoff in the of basin river kashkan by statistical models. *Urban Ecological Research*, 6, 81-91. (In Persian)
- Park, K., & Won, J. h. (2019). Analysis on distribution characteristics of building use with risk zone classification based on urban flood risk assessment. *International Journal of Disaster Risk Reduction*, 38, 1-10.
- Rahimi, A., (2014). Modeling of Tabriz Expansion in 2031 using Land Transformation model. *Urban Ecological Research*, 5(2), 99-110. (In persian)

ابراهیم سامی و مریم عبادی : پهنه‌بندی خطر سیلاب شهری با استفاده از تحلیل....

- Safrian Zengir, V., Zenali, B., Jafarzadeh Aliabad, L., (2018). Assessment of synoptic conditions of occurrence of flood-induced rainfall in Khalkhal city with a perimeter environmental approach during the time period 2016- 1987. *Urban Ecological Research*, 1(19), 104-89. (In Persian)
- Salehi, I., Rafiee, Y., Farzad Behtash, M., Agha Babaei, M., (2012). Urban Flood Hazard Zonation Using GIS and Fuzzy-AHP Analysis (Case study: Tehran city). *Journal of Environmental Studies*, 3, 179-188. (In Persian)
- Taheri Behbahani, M., Bozorgzadeh, M., (1996). *Urban floods*. Tehran: Publications of Iran Urban Planning and Architecture Studies and Research Center. (In Persian)
- UNDRO. (1978). *Disaster Prevention and Mitigation: A Compendium of Current Knowledge*. Hydrological Aspects, United Nations Disaster Relief Organization, New York: United Nations.
- Yamani, M., Davarzni, Z. and Dadarsi, A., (2013). Evaluation of Fuzzy Logic Relative to other Conceptual Models in Zoning of Flooding with Emphasis on Geomorphological Aspects Case study: Davaran Basin. *Geography and Territorial Spatial Arrangement*, 5, 121-134. (In Persian)
- Yazdani, M., Ghasemi, M., Saleki Maliki, M., and Afkhami, F., (2016). Micro-zoning of vulnerability of cities against flood risk, case study: Tabriz city. *Journal of Rescue and Relief*, 36, 33-44. (In Persian)
- Zhong, M., Lin, K., Tang, G., Zhang, Q., Hong, Y., & Chen, X. (2020). A Framework to Evaluate Community Resilience to Urban Floods: A Case Study in Three Communities. *Sustainability*, 12(4), 1-21.
- Zhou, Y., Shen, D., Huang, N., Guo, Y., Zhang, T., & Zhang, Y. (2019). Urban flood risk assessment using storm characteristic parameters sensitive to catchment-specific drainage system. *Science of the Total Environment*, 659, 1362–1369
- احمدزاده، حسن؛ سعیدآبادی، رشید و نوری، الله (۱۳۹۴). بررسی و پهنه‌بندی مناطق مستعد به وقوع سیل با تأکید بر سیلاب‌های شهری موردي: شهر ماکو. *مجله هیدرولوژی و مورفولوژی*، ۲، ۲۳-۱.
- اصغری سراسکانرود، صیاد؛ پیروزی، الناز و زینالی، بتول (۱۳۹۴). پهنه‌بندی خطر سیلاب در حوضه آبخیز آق لاقان چای با استفاده از مدل ویکور. *پژوهش‌های رئومورفولوژی کمی*، ۳، ۲۴۵-۲۳۱.
- امیر احمدی، ابوالقاسم؛ بهنیافر، ابوالفضل و ابراهیمی، مجید (۱۳۹۰). ریز پهنه‌بندی خطر سیلاب در محدوده شهر سبزوار در راستای توسعه پایدار شهری. *مجله پژوهش و برنامه‌ریزی شهری*، ۷(۴)، ۳۲-۱۷.
- جعفری، هانیه و آل شیخ، علی‌اصغر (۱۳۹۳). توسعه‌ی روشنی برای شبیه‌سازی آب‌گرفتگی‌های شهری منطبق بر زیرساخت‌های جمع‌آوری سیلاب. *فصلنامه مدیریت بحران*، ۷(۴۲)، ۴۱-۵۰.
- حمصی، مليحه؛ اونق، مجید و صالحی اصفهانی، گیتی (۱۳۹۱). اثر تعییر کاربری اراضی بر پهنه‌بندی سیل: مطالعه موردي روستاهای حوضه آبخیز آزران کاشان. سومین همایش ملی مدیریت جامع منابع آب، دانشگاه علوم کشاورزی و منابع طبیعی ساری.
- دهقانی، مژگان؛ عباس نژاد، احمد و نگارش، حسین (۱۳۹۵). بررسی خطر سیل و پهنه‌بندی آن در دشت بافت، جنوب شرقی ایران. *جغرافیا و آمایش شهری- منطقه‌ای*، ۲۰، ۱۴۱-۱۵۲.
- رحیمی، اکبر (۱۳۹۳). مدل سازی توسعه تبریز در سال ۱۴۱۰ با استفاده از LTM. دو فصلنامه پژوهش‌های بوم‌شناسی شهری، ۵(۲)، ۹۹-۹۰.
- صالحی، اسماعیل؛ رفیعی، یوسف؛ فرزاد بهتاش، محمدرضا و آقا بابایی، محمدتقی (۱۳۹۲). پهنه‌بندی خطر سیلاب شهری با استفاده از GIS و فرایند تحلیل سلسه مراتبی فازی (مطالعه موردي: تهران). *محیط‌شناسی*، ۳، ۱۷۹-۱۸۸.
- صفیریان زنگیر، وحید؛ زینالی، بتول و جعفر زاده علی‌آبادی، لیلا (۱۳۹۸). ارزیابی شرایط همدیدی وقوع بارش‌های منجر به سیلاب در شهرستان خلخال، با رویکرد محیطی به گردشی در بازه زمانی ۱۳۹۵ تا ۱۳۹۶. *فصلنامه علمی پژوهشی بوم‌شناسی شهری*، ۱(۱۹)، ۸۹-۱۰۴.
- طاهری بهبهانی، محمد طاهر و بزرگ‌زاده، مصطفی (۱۳۷۵). سیلاب‌های شهری. *تهران: انتشارات مرکز مطالعات و تحقیقات شهرسازی و معماری ایران*.
- قهرومودی تالی، منیژه (۱۳۸۸). کاربرد مدل یکپارچه سیلاب شهری در کلان شهرها (مطالعه موردي: شمال شرق تهران). *جغرافیا و برنامه‌ریزی منطقه‌ای*، ۱۶۷-۱۷۸.

- کرم، امیر، درخشان، فرزانه (۱۳۹۱). پهنه‌بندی سیل خیزی برآورد سیلاب و ارزیابی کارایی کانال‌های دفع آب‌های سطحی در حوضه‌های شهری (مطالعه موردي: حوضه آبشوران در کرمانشاه). *فصلنامه جغرافیای طبیعی*, ۱۶، ۳۷-۵۴.
- کرمی مقدم، شیرین و درانی نژاد، محمدصادق (۱۳۹۲). پهنه‌بندی مناطق مناسب جهت پخش سیلاب در دشت سروستان با استفاده از تحلیل سلسله مراتبی و روش بولین در محیط GIS. *ششمین همایش ملی آبخیزداری و مدیریت منابع آب و خاک*.
- محمود زاده، حسن؛ یاری، فاطمه و واحدی، علی (۱۳۹۶). کاربرد تکنیک‌های دورسنجی و GIS برای پهنه‌بندی خطر سیلاب در شهر ارومیه با رویکرد تحلیل چند معیاره. *پژوهش‌های جغرافیای طبیعی*, ۴، ۷۳۰-۷۱۹.
- مهندسین مشاور نقش محیط (۱۳۹۰). طرح جامع شهر مراغه.
- نصری، مسعود (۱۳۸۸). بررسی سیلاب‌ها و شبکه مسیل‌های تأثیرگذار بر شهر زواره و توجه به آن در برنامه‌ریزی شهری. *فصلنامه جغرافیایی چشم‌نداز*, ۲، ۱۲-۱.
- نگارش، حسین؛ طاووسی، تقی و مهدی نسب، مهدی (۱۳۹۳). مدل‌سازی تولید رواناب حوضه آبریز رودخانه کشکان بر اساس روش‌های آماری. *دو فصلنامه پژوهش‌های بوم‌شناسی شهری*, ۶، ۸۱-۹۱.
- هاشمی منفرد، سید آرمان؛ عزیزان، غلامرضا؛ درخشان علمدار، پژمان و رئیس پور، جلیل (۱۳۹۷). بررسی کفایت سیستم زهکشی در مناطق شهری جهت عبور سیلاب و امکان اصلاح آن به کمک مدل SWMM5 مطالعه موردي: شهرستان داراب. *مجله مخاطرات محیط طبیعی*, ۱۵، ۲۱۹-۲۳۶.
- هزاره، وحید و باخرزی قزالحصار، سید محمد (۱۳۹۷). پهنه‌بندی خطر سیلاب شهری در منطقه ۹ شهرداری مشهد. *جغرافیا و روابط انسانی*, ۴۰، ۱۱۴۰-۱۱۵۸.
- بیزدانی، محمدرضا؛ قاسمی، معصومه؛ سالکی ملکی، محمدعلی و افخمی، فاطمه (۱۳۹۶). ریز پهنه‌بندی آسیب‌پذیری شهرها در مقابل خطر سیلاب مطالعه موردي: شهر تبریز. *فصلنامه امداد و نجات*, ۳۶، ۳۳-۴۴.
- یمانی، مجتبی؛ داورزنی، زهرا و دادرسی، ابوالقاسم (۱۳۹۱). ارزیابی مدل منطق فازی در مقایسه با سایر مدل‌های مفهومی در پهنه‌بندی سیل خیزی با تأکید بر ویژگی‌های ژئومورفولوژیک مورد شناسی: حوضه داورزن. *جغرافیا و آمایش شهری منطقه‌ای*, ۵، ۱۲۱-۱۳۶.

#### Copyrights

© 2022 by the authors. Lisensee PNU, Tehran, Iran. This article is an open access article distributed under the terms and conditions of the Creative Commons Attribution 4.0 International (CC BY4.0) (<http://creativecommons.org/licenses/by/4.0>)

